

# II-233 水路急縮部の洗掘について(第2報)

日本大学理工学部 正員 葉津清藏

## §1. まえがき

局所洗掘の clear water scour の解析法として、著者は Step-by-step Method (SM), Equilibrium-conditional Method (EM) の 2 つの手法を提案した。図-1 の急縮部の洗掘について、SM による結果は昨年発表したが、これは EM による結果について述べるが、これまで周連する既報の結果について小説する。

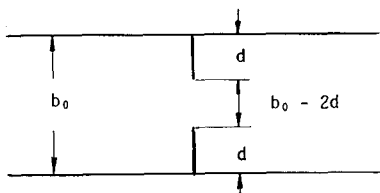


Fig.1. Sketch of sudden contraction part

i) 急縮部の最大単位幅当たりの流量  $q_s$  は次のようすを推論される[1]。

$$\left. \begin{aligned} q_s &= k_0 q / (1 - K), \quad k_0 = V^n, \\ V &= V_b / V_0, \quad V_0 = V_b \text{ in } K = 0, \\ V &= 1 + 3.18K, \quad K = 2d/b_0 \end{aligned} \right\} (1)$$

$V_b$ : 急縮部の最大底流速。

ii) 平衡洗掘深 [2].

$$H_n + D_{se} = H_{n*}, \quad SM \quad (2)$$

しかし EM の手法が確立されたならば、同一資料を用いての解析であるから、例えは多少くとも、EM による平衡洗掘深は式(2)と同じ表現に至ることは必要である。このようすを観察して EM による手法の確立を目的として検討する。

## §2. 洗掘発生限界 (B.S.A.)

EM によると B.S.A. 時の normal flow の水深と  $H_{n*}$  とは

$$\left. \begin{aligned} h_{n*} \times f^{1/3} &\propto q_s^{2/3} \\ f &: Lacey's silt factor \end{aligned} \right\} (3)$$

この概念が EM の基本概念である。B.S.A. の資料の一節で  $k_0 = 1.0$  と仮定すると図-2 が得られ、これより  $K_0$  について検討の必要性が見らる。

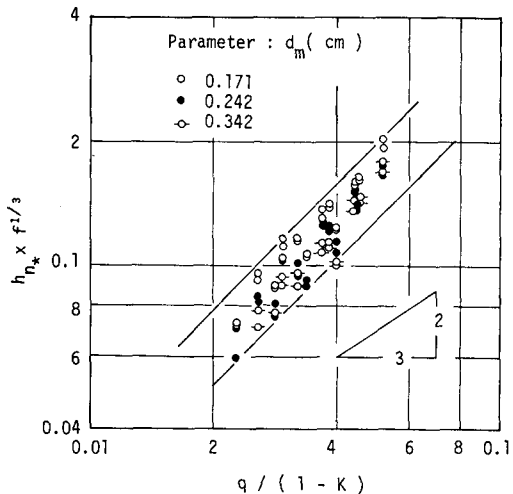


Fig.2. B.S.A. in the case of  $k_0 = 1$

a) 式(1)の  $n$  について。

この大きさについて実験値に基づいて検討する、又お実験は Exp. I, II, III ([2]参照)の3つで、I, II 部を用いて  $n$  の概略値を検討し、 $n$  を  $10^3 \times n - 1$  として資料を plot すると図-3 が得られる。

これより  $1.0 < n < 2.0$  であることが推論される。

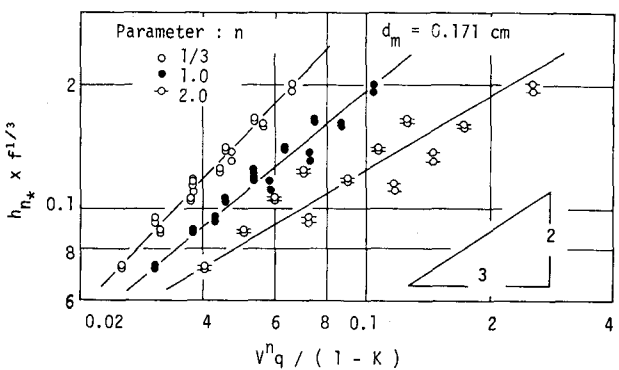


Fig.3. Investigation on "n"

より検討した結果  $1.0 < n < 1.5$  のように推定されましたが、最終的には資料のままであるが、 $n$  の概略値は  $1.0$  で十分であることが確認されたため、そのまま式

$$k_{0q} = 1 + 3.18 K \quad (4)$$

b) B.S.A. について。

Exp.I, II, III の資料を式(4)と用いて plot すると図-4 が得られ、また次式が得られる。

$$h_{n*} \times f^{1/3} = 0.754 [ k_{0q} / (1 - K) ]^{2/3} \quad (5)$$

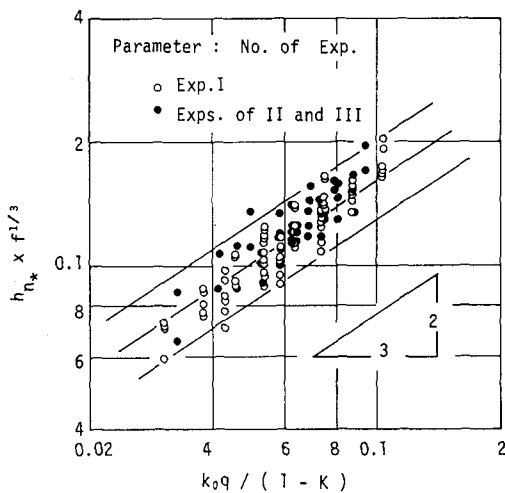


Fig.4. Beginning of scouring action

### 8.3. 平衡洗掘深 (E.S.D.)

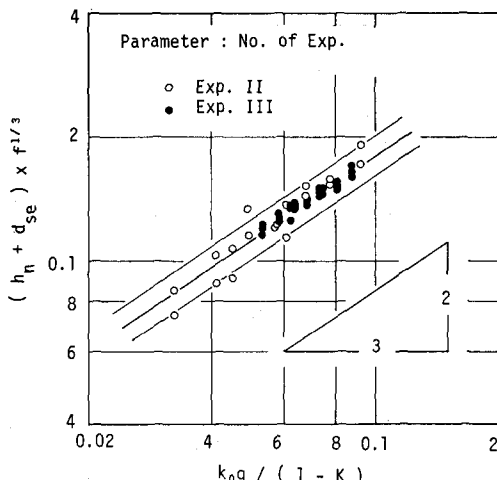


Fig.5. Equilibrium scour depth

EM の手法を従って Exp. II, III の資料は図-5 に plot され、次式が得られる。

$$(h_n + d_{se}) \times f^{1/3} = 0.818 [ k_{0q} / (1 - K) ]^{2/3} \quad (6)$$

### 8.4. B.S.A. と E.S.D. の関係。

式(5), (6)より  $h_{n*} < (h_n + d_{se})$  の関係が得られ、しかし橋脚周辺、水路巾が徐々に変化する場合も相反する結果が得られるから、そこで B.S.A., E.S.D. の資料を同じ回面に plot すると、図-6 が得られる。

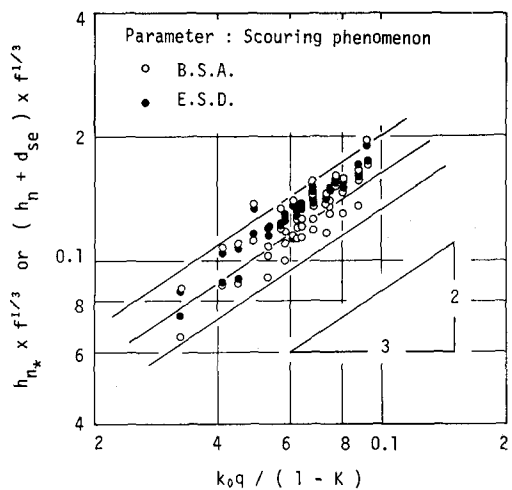


Fig.6. Relationship between B.S.A. and E.S.D.

この図において、B.S.A., E.S.D. の大きさの順位は  $h_{n*} > (h_n + d_{se})$  の関係が得られ、従ってむしろ B.S.A., E.S.D. は EM によると次のよう示されることは解すのが妥当と考える。

$$(h_{n*} \text{ or } h_n + d_{se}) \times f^{1/3} = a_0 [ k_{0q} / (1 - K) ]^{2/3} \quad (7)$$

$$\frac{h_{n*}}{h_c} = \frac{h_n + d_{se}}{h_c} = \frac{h_n}{h_c} + \frac{d_{se}}{h_c} \quad , \text{ i.e., } H_{n*} = H_n + D_{se}$$

となって、式(2)が得られる。

### 引用文献

- [1]. 畠津：「水路周辺の洗掘について」第38回年譲。
- [2]. 畠津：「水路急縮部の洗掘について」第39回年譲。